

ТРАЕКТОРНОЕ УПРАВЛЕНИЕ АВТОНОМНОЙ МОБИЛЬНОЙ ПЛАТФОРМОЙ ДЛЯ ЭКОЛОГИЧЕСКОГО МОНИТОРИНГА, АЭРОФОТОСЪЕМКИ И ИССЛЕДОВАНИЯ НАЗЕМНЫХ ОБЪЕКТОВ С ВОЗДУХА

К.Ю. Котов, А.С. Мальцев, М.А. Соболев

Институт автоматики и электрометрии СО РАН. E-mail: kotov@idisys.iae.nsk.su

В работе представлен метод синтеза системы управления движением квадрокоптера по заданной траектории и приведены результаты летных экспериментов.

Введение.

В настоящее время возрос интерес к управлению компактными беспилотными летательными аппаратами, линейные размеры и масса которых составляют 0.1 – 0.5 метра и 0.1 – 0.5 кг соответственно [1]. Значительная часть работ посвящена созданию платформ [2-4], разработке алгоритмов управления [5-8] планирования пути и локализации [9, 10] для мультироторных конфигураций летательных аппаратов, что объясняется простотой и гибкостью конструкции, надежностью и управляемостью таких изделий.

Доклад посвящен разработке системы управления квадросоторным летательным аппаратом (квадрокоптером). В работе используется разработанный авторами метод организации вынужденного движения по желаемой траектории в пространстве состояний [11, 12]. Летные эксперименты и численное моделирование подтверждают работоспособность предлагаемой системы управления в присутствии шумов измерений и атмосферных возмущений.

Постановка задачи.

Объектом управления является квадрокоптер *AR.Drone* [3], построенный по классической для этих аппаратов четырехвинтовой схеме. Положение аппарата в пространстве характеризуется координатами x, y, z центра масс и тремя углами ориентации. общепринятыми являются следующие обозначения: ψ – угол рыскания – угол поворота вокруг оси z_b ($-\infty < \psi < \infty$); φ – угол крена – угол поворота вокруг оси x_b ($-\pi/2 < \varphi < \pi/2$); θ – угол тангажа – угол поворота вокруг оси y_b ($-\pi/2 < \theta < \pi/2$). Упрощенные уравнения, описывающие движение квадрокоптера в указанных координатах, и ориентация осей x_b, y_b, z_b приведены в [13]:

$$\begin{cases} m\ddot{x} = (\sin \psi \cdot \sin \varphi + \cos \psi \cdot \cos \varphi \cdot \sin \theta) \cdot u_1; \\ m\ddot{y} = (-\cos \psi \cdot \sin \varphi + \sin \psi \cdot \cos \varphi \cdot \sin \theta) \cdot u_1; \\ m\ddot{z} = \cos \varphi \cdot \cos \theta \cdot u_1 - mg; \end{cases} \quad (1)$$

$$\begin{cases} I_{xx} \cdot \ddot{\varphi} = u_2 - (I_{zz} - I_{yy}) \cdot \dot{\theta} \cdot \dot{\psi}; \\ I_{yy} \cdot \ddot{\theta} = u_3 - (I_{xx} - I_{zz}) \cdot \dot{\varphi} \cdot \dot{\psi}; \\ I_{zz} \cdot \ddot{\psi} = u_4. \end{cases} \quad (2)$$

Здесь: m – масса квадрокоптера, g – ускорение силы тяжести, I_{xx}, I_{yy}, I_{zz} – моменты инерции относительно соответствующих осей квадрокоптера. Точками над знаками переменных обозначаются производные по времени.

Цель управления состоит в переводе аппарата из точки с произвольными координатами на траекторию, задаваемую в виде функции в пространстве координат и организации последующего движения аппарата вдоль заданной траектории на требуемой высоте и скорости.

Синтез регулятора.

Используется предложенная в работе [12] методика определения управляющих воздействий, гарантирующая движение аппарата по траектории, определяемой уравнениями

$$l(x, y) = 0, \quad z = z_{ref}(x, y), \quad v = \sqrt{\dot{x}^2 + \dot{y}^2} = v_{ref}(x, y). \quad (3)$$

Введём функции отклонения от желаемых параметров полета

$$\begin{cases} S_l = \frac{dl}{dt} + k_l \cdot l; \\ S_z = \frac{d}{dt}(z - z_{ref}) + k_z \cdot (z - z_{ref}); \\ S_v = v - v_{ref}. \end{cases} \quad (4)$$

Выполнение условий $S_l = 0$; $S_z = 0$; $S_v = 0$ обеспечивает экспоненциальный выход на траекторию (3) с постоянными времени $1/k_l$, $1/k_z$. Для удержания квадрокоптера на заданной траектории условия (6) должны выполняться во всех точках траектории, т. е. необходимо

$$\frac{d}{dt} S_l^2 \leq 0; \quad \frac{d}{dt} S_z^2 \leq 0; \quad \frac{d}{dt} S_v^2 \leq 0. \quad (5)$$

При этом знаки равенства в (7) допустимы лишь при тождественном равенстве нулю величин S_l , S_z , S_v . Усилим условия (5), положив

$$\frac{d}{dt} S_l^2 = -2\alpha_l \cdot S_l^2; \quad \frac{d}{dt} S_z^2 = -2\alpha_z \cdot S_z^2; \quad \frac{d}{dt} S_v^2 = -2\alpha_v \cdot S_v^2, \quad (6)$$

или

$$\dot{S}_l = -\alpha_l \cdot S_l; \quad \dot{S}_z = -\alpha_z \cdot S_z; \quad \dot{S}_v = -\alpha_v \cdot S_v. \quad (7)$$

Здесь $\alpha_l > 0$; $\alpha_z > 0$; $\alpha_v > 0$ определяют постоянные времени, с которыми S_l , S_z , S_v экспоненциально стремятся к нулю. Дифференцируя (4) и подставляя результаты в (6), получим уравнения для вычисления вторых производных координат

$$\begin{cases} l_x \cdot \ddot{x} + l_y \cdot \ddot{y} = A(x, y, \dot{x}, \dot{y}); \\ \frac{\dot{x} \cdot \ddot{x} + \dot{y} \cdot \ddot{y}}{v} = B(x, y, \dot{x}, \dot{y}, v_{ref}); \\ \ddot{z} = C(z, \dot{z}, z_{ref}), \end{cases} \quad (8)$$

где

$$\begin{cases} A(x, y, \dot{x}, \dot{y}) = -\alpha_l \cdot S_l - k_l \cdot (l_x \cdot \dot{x} + l_y \cdot \dot{y}) - 2l_{xy} \cdot \dot{x} \cdot \dot{y} - l_{xx} \cdot \dot{x}^2 - l_{yy} \cdot \dot{y}^2; \\ B(x, y, \dot{x}, \dot{y}, v_{ref}) = -\alpha_v \cdot S_v; \\ C(z, \dot{z}, z_{ref}) = -\alpha_z \cdot S_z - k_z \cdot \dot{z}. \end{cases} \quad (9)$$

Здесь и далее нижние индексы при символах функции l означают соответствующие частные производные. Введём обозначения

$$\begin{cases} \Delta = l_x \cdot \dot{y} - l_y \cdot \dot{x}; \\ \Delta_1 = A \cdot \dot{y} - B \cdot v \cdot l_y; \\ \Delta_2 = B \cdot v \cdot l_x - A \cdot \dot{x}. \end{cases} \quad (10)$$

Выражая требуемые значения вторых производных по времени координат центра масс квадрокоптера и приравнивая к значениям вторых производных в уравнениях (1), получим систему уравнений

$$\begin{cases} (\sin \psi \cdot \sin \varphi + \cos \psi \cdot \cos \varphi \cdot \sin \theta) \cdot \frac{u_1}{m} = \frac{\Delta_1}{\Delta}; \\ (-\cos \psi \cdot \sin \varphi + \sin \psi \cdot \cos \varphi \cdot \sin \theta) \cdot \frac{u_1}{m} = \frac{\Delta_2}{\Delta}; \\ \cos \varphi \cdot \cos \theta \cdot \frac{u_1}{m} = g + C. \end{cases} \quad (11)$$

Возведём в квадрат левые и правые части (11) и, сложив их почленно, получим величину необходимой суммарной тяги двигателей

$$u_1 = m \cdot \sqrt{\left(\frac{\Delta_1}{\Delta}\right)^2 + \left(\frac{\Delta_2}{\Delta}\right)^2 + (g + C)^2}. \quad (12)$$

Подставляя (12) в систему уравнений (11) и переходя к безразмерным величинам

$$\gamma_1 = \frac{\Delta_1}{N}; \quad \gamma_2 = \frac{\Delta_2}{N}; \quad \gamma_3 = \frac{g + C}{N}; \quad N = \sqrt{\left(\frac{\Delta_1}{\Delta}\right)^2 + \left(\frac{\Delta_2}{\Delta}\right)^2 + (g + C)^2}; \quad (13)$$

получим систему уравнений, определяющую необходимую ориентацию квадрокоптера

$$\begin{cases} (\sin \psi \cdot \sin \varphi + \cos \psi \cdot \cos \varphi \cdot \sin \theta) = \gamma_1; \\ (-\cos \psi \cdot \sin \varphi + \sin \psi \cdot \cos \varphi \cdot \sin \theta) = \gamma_2; \\ \cos \varphi \cdot \cos \theta = \gamma_3. \end{cases} \quad (14)$$

После выбора угла рыскания квадрокоптера из соображений ориентации продольной оси x_b параллельно касательной к траектории (3)

$$\cos \psi_{ref} = \frac{l_y}{\sqrt{l_x^2 + l_y^2}}; \quad \sin \psi_{ref} = -\frac{l_x}{\sqrt{l_x^2 + l_y^2}}, \quad (15)$$

значения углов θ_{ref} , φ_{ref} , определяются из (14) соотношениями

$$\begin{cases} \sin \varphi_{ref} = \gamma_1 \cdot \sin \psi_{ref} - \gamma_2 \cdot \cos \psi_{ref}; \\ \cos \varphi_{ref} = \sqrt{1 - (\gamma_1 \cdot \sin \psi_{ref} - \gamma_2 \cdot \cos \psi_{ref})^2}; \\ \sin \theta_{ref} = \frac{\gamma_2 \cdot \sin \psi_{ref} + \gamma_1 \cdot \cos \psi_{ref}}{\sqrt{\gamma_3^2 + (\gamma_2 \cdot \sin \psi_{ref} + \gamma_1 \cdot \cos \psi_{ref})^2}}; \\ \cos \theta_{ref} = \frac{\gamma_3}{\sqrt{\gamma_3^2 + (\gamma_2 \cdot \sin \psi_{ref} + \gamma_1 \cdot \cos \psi_{ref})^2}}. \end{cases} \quad (16)$$

Фильтр Калмана.

Входными данными для алгоритма управления являются зашумленные реализации координат центра масс квадрокоптера, его углов ориентации и их производные. Для нахождения оценок этих величин предлагается использовать рекурсивный фильтр Калмана [14]. Исходную модель объекта управления представим в виде

$$\begin{cases} X^{k+1} = f(X^k, U^k) + W^k; \\ Z^k = h(X^k) + V^k, \end{cases} \quad (17)$$

где W^k — нормальный случайный процесс с нулевым средним и ковариационной матрицей Q^k , описывающий погрешности моделирования; V^k — белый гауссовский шум измерений с нулевым средним и ковариационной матрицей R^k , описывающий шум датчиков; Z^k — выход датчиков измерения компонент вектора состояния X^k объекта; k — шаг дискретизации по времени. Вектор состояния объекта имеет вид

$$X^k = [x^k, y^k, z^k, \dot{x}^k, \dot{y}^k, \dot{z}^k, \psi^k, \phi^k, \theta^k, \dot{\psi}^k, \dot{\phi}^k, \dot{\theta}^k]^T. \quad (18)$$

Уравнения являются нелинейными, поэтому применим расширенный фильтр Калмана, где модель линеаризуется в окрестности рабочей точки (\hat{X}^k, U^k) с помощью разложения в ряд Тейлора

$$\begin{cases} X^{k+1} \approx f(\hat{X}^k, U^k) + F^k [X^k - \hat{X}^k] + W(k); \\ Z^k \approx h(\hat{X}^k) + H^k [X^k - \hat{X}^k] + V(k), \end{cases} \quad (19)$$

где

$$F_k = \frac{\partial f}{\partial X} \Big|_{X=\hat{X}_k}, H_k = \frac{\partial h}{\partial X} \Big|_{X=\hat{X}_k}. \quad (20)$$

Соответствующие выражения экстраполяции и коррекции РФК имеют вид

$$\hat{X}_k = f(\hat{X}^{k-1}, U^{k-1}), P_k = F_k P_{k-1} F_k^T + Q_k, K_k = \frac{P_k H_k^T}{H_k P_k H_k^T + R_k},$$

$$\hat{X}_k = \hat{X}_k + K_k (Z_k - h_k(\hat{X}_k)), P_k = (I - K_k H_k) P_k.$$

Экспериментальные результаты.

Для исследования вопросов устойчивости и качества управления в предложенной системе управления проведен ряд экспериментов по управлению полетом квадрокоптера в помещении по траекториям различного вида. Выполнено сравнение полученных данных с результатами численного моделирования.

Абсолютные значения положения центра масс аппарата и угла рыскания ψ определялись с помощью внешней видеосистемы. Углы ориентации ϕ и θ аппарата вычисляются бортовой навигационной системой как результат комплексирования данных акселерометров и гироскопов [3].

После определения численных значений параметров модели проведены летные эксперименты. Движение выполнялось на постоянной высоте и скорости по траектории вида

$$l(x, y) = (x - x_0)^{2n} + (y - y_0)^{2n} - r^{2n} = 0. \quad (21)$$

На рис. 1 приведены результаты летных экспериментов и численного моделирования замкнутой системы управления при соответствующих параметрах.

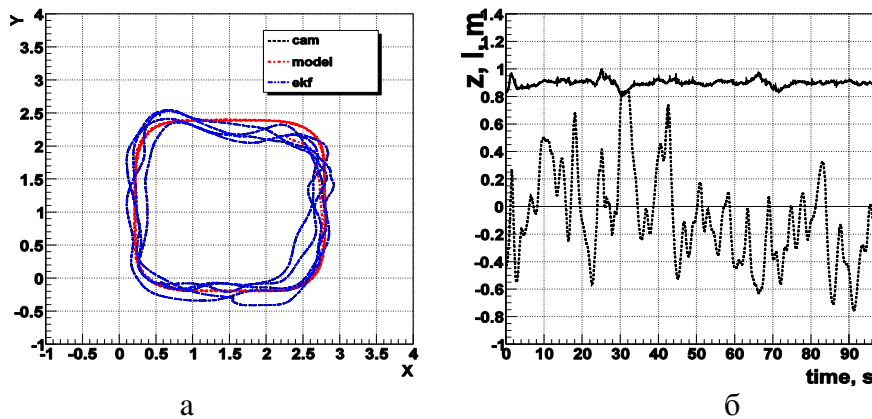


Рис. 1. Движение квадрокоптера вдоль траектории (21) при $n = 2$, а) координаты центра масс: 'cam' – данные внешней видеосистемы, 'model' – результаты моделирования, 'ekf' – оценка координат в фильтре Калмана; б) текущая высота z (сплошная линия) и отклонение $l(x,y)$ от заданной траектории (пунктирная линия)

Заключение.

В докладе представлен способ построения системы управления беспилотным летательным аппаратом, предназначенной для обеспечения движения по желаемой траектории, и приведены результаты летных экспериментов и численного моделирования предложенной системы управления. Для оценки переменных состояния объекта использованы соотношения на основе расширенного фильтра Калмана. Показана работоспособность системы управления при существенной кривизне желаемой траектории, наличии шумов измерений и атмосферных возмущений.

Список литературы

1. Pines D. J., Bohorquez F. Challenges facing future micro-air-vehicle development // *Journal of Aircraft*. 2006. Vol. 43, no. 2. Pp. 290–305.
2. Bouabdallah Samir. Design and control of an indoor micro quadrotor // *In Proc. of Int. Conf. on Robotics and Automation*. 2004.
3. P.J. Bristeau, F. Callou, D. Vissiere, N. Petit The navigation and control technology inside the ar.drone micro uav // *18th IFAC World Congress*. Milano, Italy: 2011. Pp. 1477–1484.
4. M. Cutler, N. Kemal Ure, B. Michi-ni, J. P. How. Comparison of fixed and variable pitch actuators for agile quadrotors. // *AIAA Guidance, Navigation, and Control Conference (GNC)*. Portland, OR. 2011.
5. Gabriel M. Hoffmann, Hao-miao Huang, Steven L. Wasl, Er Claire J. Tomlin. Quadrotor helicopter flight dynamics and control: Theory and experiment // *In Proc. of the AIAA Guidance, Navigation, and Control Conference*. 2007.
6. Beji Lotfi, Abichou Azgal. Trajectory generation and tracking of a mini-rotorcraft // *Proceedings of the 2005 IEEE International Conference on Robotics and Automation, ICRA 2005*. Barcelona, Spain. IEEE, 2005. Pp. 2618–2623.
7. Белинская Ю. С. Четвериков В. Н. Управление четырехвинтовым вертолетом // *Наука и образование*. 2012. No 5. С. 157–171.
8. Bouabdallah Samir. Backstepping and sliding-mode techniques applied to an indoor micro quadrotor // *In Proceedings of IEEE Int. Conf. on Robotics and Automation*. — 2005. Pp. 2247–2252.
9. Mellinger D., Kumar V. Minimum snap trajectory generation and control for quadrotors // *Proceedings of the IEEE International Conference on Robotics and Automation (ICRA)*. 2011.
10. Engel J., Sturm J., Cremers D. Accurate figure flying with a quadrocopter using onboard visual and inertial sensing // *Proc. of the Workshop on Visual Control of Mobile Robots (ViCoMoR) at the IEEE/RJS International Conference on Intelligent Robot Systems (IROS)*. 2012.
11. Золотухин Ю.Н., Нестеров А.А. Управление перевернутым маятником с учётом диссипации энергии // *Автометрия*. 2010. No 5. С. 3–11.
12. Управление параметрами полета квадрокоптера при движении по заданной траектории / С.А. Белоконь, Ю.Н. Золотухин, А.С. Мальцев, А.А. Нестеров, М.Н. Филиппов, А.П. Ян // *Автометрия*. 2012. No 5. С. 32–41.
13. J. Kim, M.-S. Kang, S. Park. Accurate modeling and robust hovering control for a quadrotor vtol aircraft // *J. Intell. Robotics Syst.* 2010. Vol. 57, no. 1-4. Pp. 9–26.
14. Kalman R. E. A new approach to linear filtering and prediction problems. 1960. Vol. 82. Pp.35–45.